

東京工業大学 正員 増田陳紀
 東京工業大学 正員 吉田裕
 宅地開発公団 森本剛

はじめに 本報告は、個々の節点の動きを座標および回転角によって描くことにより、部材の移動および形状変化を適確に捉え、これに基づいて、個々の部材の変形は微小であるとの前提の下に、任意の増分に対して変形後の釣合条件を満たす増分釣合方程式を定式化し、得られた釣合式の各項の特性を考慮した反復修正解析過程を構成することにより、増分計算のみで急激な形状変化を伴う大変形挙動を追跡することが可能である。しかも大きな増分に対しても安定な、骨組構造の幾何的非線形問題解析法を開発し得た経過および結果を発表するものである。

部材座標系の定義 变位の進行に伴って部材と共に移動する部材座標系(x^*, y^*, z^* -系)をFIG.1に示すように定める。ここで、 x^* および y^* 軸は、節点上における断面の法線である z^* 軸と、節点上および2の重心を結ぶ z^* 軸に一致させるために、節点1を通る x^*, z^* 面の法線軸(M)回りに回転させたときに、同時に節点1における断面の主軸 x^* および y^* 軸が回転した結果として得られる軸である。

座標変換(全体座標系から部材座標系への節点変位の変換) オリジナル段階における節点 i ($i = 1, 2$)の部材座標系での並進変位成分ベクトル $d_i^*(n)$ および回転成分ベクトル $\theta_i^*(n)$ を、全体座標系での対応するベクトル $U_i(n)$, $\Theta_i(n)$ ならびに初期座標ベクトル $X_i(0)$ 、および全体座標系から部材座標系への座標変換行列 T (3×3)、部材の剛体回転ベクトル S (3×1)とにより、次式で評価する(FIG.2参照)。

$d_i^*(n) = \{X_i\}(n) - \{X_i\}(0) = \{\lambda \cdot X_i(0) + d_i^*\}(n) - \{\lambda \cdot X_i(0)\} ; \quad \theta_i^*(n) = \{\lambda \cdot (\theta_i - S)\}(n)$

増分釣合方程式 部材の節点変位ベクトル U_i^* を $U_i^* = \langle d_1^{*T} \ d_2^{*T} \ \theta_1^{*T} \ \theta_2^{*T} \rangle$ のように定め、対応する節点力ベクトルを F_i^* とする。部材座標系での節点力増分 ΔF_i^* と節点変位増分 ΔU_i^* とが線形剛性行列 K^* によって

$$\Delta F_i^* = K^* \cdot \Delta U_i^* ; \quad \Delta U_i^* = U_{i+1}^* - U_i^* = T(n+1) \cdot (\Delta U_i + \{F_i(0)\}) + \Delta T \cdot (U_i + \{X_i(0)\})(n) ; \quad T(n) = \begin{bmatrix} 1 & 0 & 0 \\ 0 & 1 & 0 \\ 0 & 0 & \lambda \end{bmatrix}$$

のように関連づけられるものとすれば、全体座標系での部材の増分釣合方程式が次のように求まる。

$$\Delta F = F(n+1) - F(n) = \{T^T \cdot F\}(n+1) - \{T^T \cdot F\}(n) = \Delta T^T \cdot F(n) + T(n+1) \cdot \Delta F^* \\ = \Delta T^T \cdot F(n) + T(n+1) \cdot K^* \cdot T(n+1) \cdot (\Delta U_i + \{F_i(0)\}) + T(n+1) \cdot K^* \cdot \Delta T \cdot (U_i + \{X_i(0)\})(n)$$

ただし L , $X_i(0) = \langle X_1^T \ X_2^T \rangle(0)$, $F(n) = \langle S^T \ F^T \rangle(n)$ である。

反復修正解析過程 上記増分釣合方程式を次のように解く。最初の近似過程では釣合路路を模式化して示す。FIG.3における増分前のオリジナル状態(点A)において ΔT , ΔF を ΔU_i に関して線形化し、 $T(n+1)$ を $T(n)$ で近似して解く。次に近似を求める際は、 ΔT , ΔF は増分間の平均的な変化率を用いて評価(点Bで線形化)し、 $T(n+1)$ はより近似点Cでの値によって評価する。以後の反復修正過程においては、変位増分 ΔU_i の繰数としての $T(n+1)$ 、 ΔT , ΔF はいづれも ΔU_i との相対誤差を十倍正解に収束していると看做し、前述近似点での値により近似する。

計算例 頂点に鉛直方向集中荷重が作用するトラスドームの計算結果より、荷重～変位曲線を他の解法による結果と比較してFIG.4に示す。上より点Aの鉛直変位、点Bの鉛直変位および水平変位である。本解法による結果は変形が相対的に小さな領域ではHangai²⁾の結果と一致しており、一方、荷重が0のときに横軸を切断する点(変位)についてはJaganathan³⁾の結果と一致している。FIG.5は、頂点に鉛直方向集中荷重を受けた端固定、他端ヒンチ固定の計算結果より、頂点の荷重～鉛直および水平変位曲線を解析解(破線)⁴⁾と比較して示したもので、 $\lambda = 7.23$ の点から $\lambda = 185$ の点までのような極端な形状変化を伴う挙動を良く追従している。あわせて、ここで提案した解析法によれば、個々の部材の剛性行列を線形として、構造全体系の幾何的非線形性を十分表現し得、また、増分計算のみで座屈および座屈後挙動を追跡することができる。

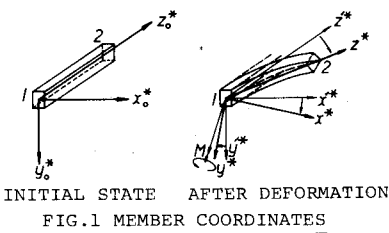


FIG.1 MEMBER COORDINATES

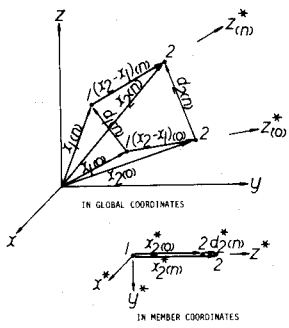


FIG.2 RELATIVE DEFORMATIONS

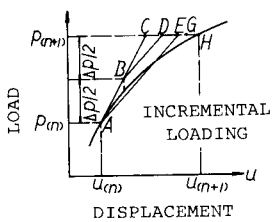
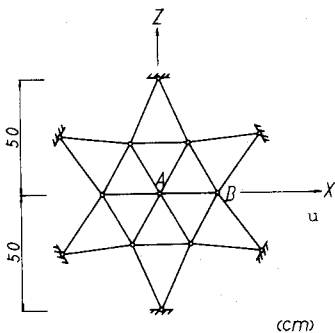
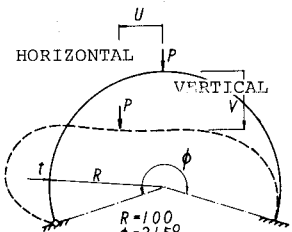
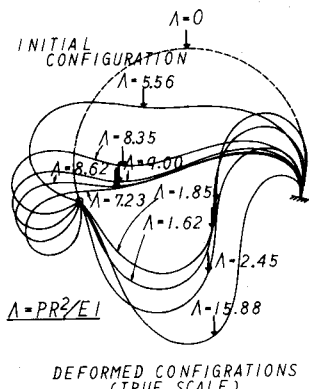
FIG.3 STEP
ITERATIVE-CORRECTIVE
PROCEDURE

FIG.4 LOAD-DISPLACEMENT BEHAVIOUR OF SHALLOW TRUSS DOME



DIMENSIONS



DEFORMED CONFIGURATIONS (TRUE SCALE)

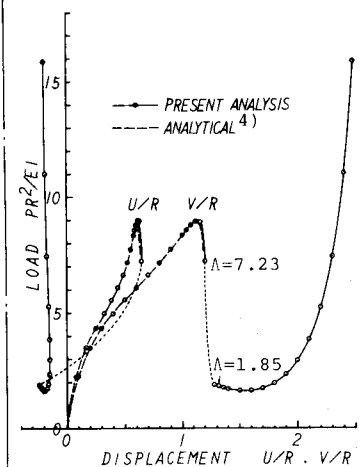


FIG.5 LOAD-DISPLACEMENT CURVES (HORIZONTAL AND VERTICAL COMPONENTS) OF CLAMPED-HINGED ARCH.

参考文献 1)吉田・増田・松田:薄板で構成される立体構造の弾塑性・大変位離散化要素解析法, 土論集, No.288, 1979.8.

2) Hangai, Kawamata: Analysis of geometrically nonlinear and stability problems by static perturbation method, Report of the Institution of the Industrial Science, the Univ. of Tokyo, vol.22, No.5, Jan., 1973. 3) Jagannathan, Epstein, Christiano: Snap-through buckling of reticulated shells, Proc., Instn. Civ. Eng. Part 2, pp.727-742, Dec., 1975. 4) Zienkiewicz: The Finite Element Method, the third ed., pp.521-522, McGraw-Hill, 1977.